

И. В. ЗАХАРОВ, Л. А. БАЛАНОВ

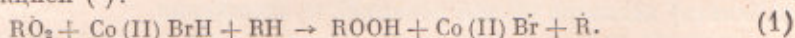
**КИНЕТИКА И ХЕМИЛЮМИНЕСЦЕНЦИЯ РЕАКЦИЙ ОКИСЛЕНИЯ
n-КСИЛОЛА И ТОЛУОЛА В УКСУСНОЙ КИСЛОТЕ,
КАТАЛИЗИРОВАННЫХ СОЛЯМИ КОБАЛЬТА И БРОМА**

(Представлено академиком Н. М. Эмануэлем 23 I 1970)

Введение бромидов оказывает исключительное воздействие на реакции окисления, катализированные солями кобальта. В растворе уксусной кислоты метилбензолы легко окисляются до карбоновых кислот (^{1, 2}). Одностадийное окисление *n*-ксилола становится экономичным промышленным способом синтеза терефталевой кислоты (³). Однако механизм совместного действия солей кобальта и брома еще во многом неясен.

Мы изучали кинетику начальной стадии реакций окисления *n*-ксилола и толуола в уксусной кислоте, катализированных ацетатом двухвалентного кобальта и бромидом натрия. Этому вопросу посвящены работы (^{4, 5}). Нами изучение процесса расширено на область малых концентраций бромида, что позволило получить новые кинетические данные. Было показано (⁴), что максимальная величина скорости окисления достигается при $[\text{NaBr}]/[\text{CoAc}_2] = 2$ (95°С) и что она имеет приблизительно второй порядок по кобальту и первый по начальной концентрации углеводорода. Продукты окисления *n*-ксилола в начальной стадии состоят главным образом из *n*-толуилового альдегида, сопровождаемого эквивалентным количеством воды. Так, при $t = 65^\circ$, $[\text{RH}] = 3,8$ мол/л, $[\text{Co}] = 2 \cdot 10^{-2}$ мол/л, $[\text{NaBr}] = 4 \cdot 10^{-2}$ мол/л через 30 мин. после начала реакции количество образовавшегося альдегида ($\sim 0,2$ мол/л) практически совпадает с числом молей поглощенного кислорода. Максимальное количество накопленного альдегида тем больше, чем выше отношение $[\text{NaBr}]/[\text{Co}]$.

Эффект бромидов в этих работах объяснен существованием реакции продолжения (реакция (10) в рассматриваемой ниже схеме) между перекисным радикалом и альтернативной структурой бромида кобальта Co(II)BrH . (Согласно нашей схеме, комплекс Co(II)BrH образуется в процессе окисления.) Сделан вывод, что частицей, обеспечивающей продолжение цепи по реакции с углеводородом, является комплекс Co(II)Br (или Co(III)Br^-). Первый порядок по начальной концентрации углеводорода объяснен реакцией (⁴):



Экспериментальные результаты. Реакции окисления *n*-ксилола и толуола проводились в растворе ледяной уксусной кислоты при $t = 95^\circ$. Скорость окисления измерялась по поглощению кислорода волюмометрически. Хемилюминесценция регистрировалась на фотометрической установке.

На рис. 1 приведены кинетические кривые для скорости поглощения кислорода и хемилюминесценции. Наблюдается начальный участок окисления, величина которого тем больше, чем выше концентрация NaBr . Как видно из рис. 2, с ростом концентрации NaBr начальная скорость окисления увеличивается и достигает максимальной величины при $[\text{NaBr}]/[\text{CoAc}_2] = 2 \div 2,5$. Величина максимальной скорости в согласии с (⁴) имеет второй порядок по кобальту.

С уменьшением концентрации NaBr начальная скорость стремится к величине, не зависящей от $[NaBr]$ (рис. 2) и резко падает лишь при относительных концентрациях $[NaBr]/[CoAc_2] < 0,02$ (рис. 2, кривая 6). В области слабой зависимости от $[NaBr]$ величина начальной скорости окисления зависит от концентраций соли кобальта (рис. 3) и углеводорода (рис. 4). Эту зависимость можно описать выражением

$$W = a [CoAc_2]^2 + b [CoAc_2]^2 [RH]. \quad (I)$$

Начальная интенсивность хемилюминесценции также стремится к постоянной величине при уменьшении концентрации NaBr (рис. 2, кривая 7). В области малых концентраций NaBr начальная интенсивность свечения является функцией концентрации соли кобальта (рис. 3, кривая 3) и прак-

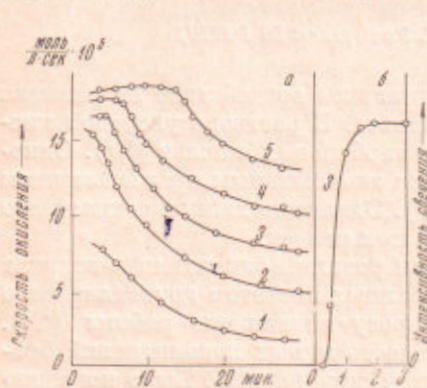


Рис. 1

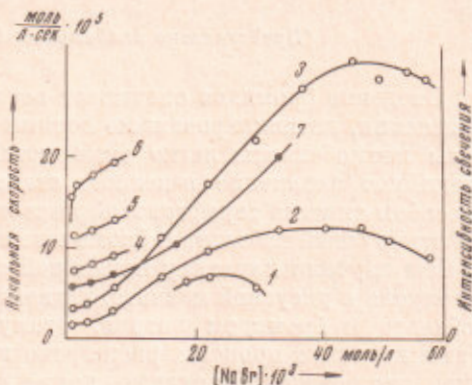


Рис. 2

Рис. 1. Кинетические кривые поглощения кислорода (а) и хемилюминесценции (б). $t = 95^\circ C$; $[CoAc_2] = 4,2 \cdot 10^{-2}$ мол/л; $[n\text{-ксилол}] = 2,4$ мол/л. 1 — $[NaBr] = 10^{-4}$ мол/л, 2 — 10^{-3} , 3 — $2 \cdot 10^{-3}$, 4 — $5 \cdot 10^{-3}$, 5 — 10^{-2} мол/л

Рис. 2. Зависимость от концентрации NaBr начальной скорости окисления (1—6) и начальной интенсивности свечения (7). $t = 95^\circ C$; $[n\text{-ксилол}] = 2,43$ мол/л. 1 — $[CoAc_2] = 1,1 \cdot 10^{-2}$ мол/л, 2 — $1,4 \cdot 10^{-2}$, 3 — $2,1 \cdot 10^{-2}$, 4 — $2,8 \cdot 10^{-2}$, 5 — $3,6 \cdot 10^{-2}$, 6 — $4,2 \cdot 10^{-2}$ мол/л, 7 — $[CoAc_2] = 1,8 \cdot 10^{-2}$ мол/л

тически не зависит от концентрации углеводорода (рис. 4, кривые 1', 2'). Если исходить из того, что хемилюминесценция определяется рекомбинацией перекисных радикалов, то можно заключить, что изменение концентрации углеводорода не приводит к изменению концентрации перекисных радикалов.

Механизм окисления. Из рассмотренных зависимостей можно сделать вывод, что как соль кобальта, так и углеводород участвуют в реакциях продолжения, но если реакция с солью кобальта приводит к разветвлению, то реакция с углеводородом (в реакции должна участвовать и соль кобальта) является чистой реакцией продолжения.

Реакция переноса электрона между солью двухвалентного кобальта и перекисным радикалом (5) должна приводить к образованию альдегида и трехвалентной формы соли кобальта (4). Существенным для интерпретации процесса является то, что в начальной стадии реакции образующийся альдегид не подвергается дальнейшему окислению. Можно заключить, что в присутствии бромид натрия в системе очень легко происходит восстановление трехвалентной формы соли кобальта, так как известно (6), что в присутствии ионов трехвалентного кобальта легко идет цепное окисление альдегида. Можно предположить, что ответственным за реакцию восстановления является бромид кобальта. Если в реакции переноса электрона между кобальтбромидом и ионом трехвалентного кобальта (6) инициируется активный комплекс $Co(II)Br$, то это может обеспечить продолжение цепи и последующее ее разветвление (7).

Можно предположить, что реакция перекисного радикала с углеводородом протекает с участием иона двухвалентного кобальта путем двух последовательных реакций переноса электрона (в результате чего валентное состояние иона кобальта не изменяется) и приводит к образованию альдегида и углеводородного радикала (11).

Рост скорости окисления и интенсивности свечения (скорости иницирования) с увеличением концентрации NaBr можно объяснить тем, что Co(II)Br иницируется также в реакции переноса электрона между ко-

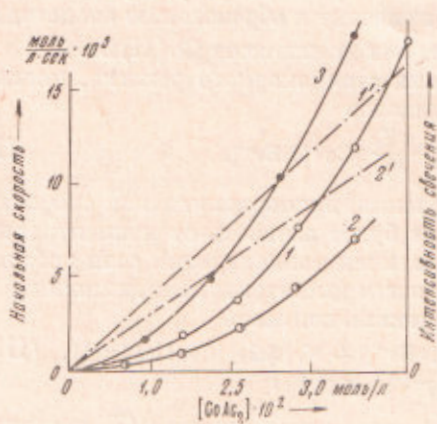


Рис. 3

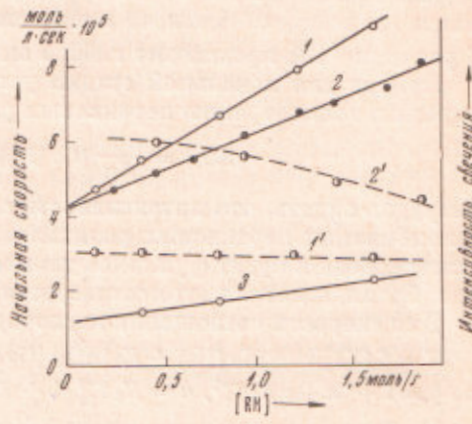


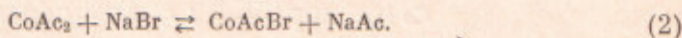
Рис. 4

Рис. 3. Зависимость начальной скорости (1, 2) и интенсивности свечения (3) от концентрации соли кобальта. $t = 95^\circ \text{C}$; $[\text{NaBr}]/[\text{CoAc}_2] = 0,1$. 1, 3 — *n*-ксилол = 2,43 мол/л, 2 — толуол = 1,42 мол/л. 1, 2 — величина скорости в степени $1/2$

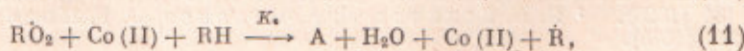
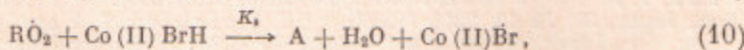
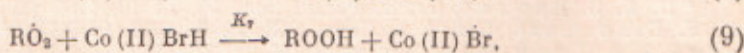
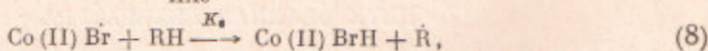
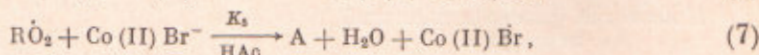
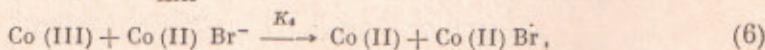
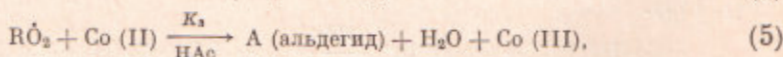
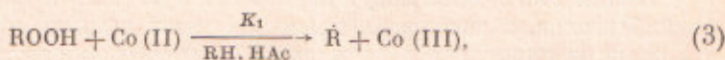
Рис. 4. Зависимость от концентрации углеводорода начальной скорости окисления (1, 2, 3) и начальной интенсивности свечения (1', 2'). $t = 95^\circ \text{C}$; $[\text{NaBr}]/[\text{CoAc}_2] = 0,1$. 1 — *n*-ксилол, 2 — толуол, $[\text{CoAc}_2] = 3,6 \cdot 10^{-2}$ мол/л, 3 — *n*-ксилол, $[\text{CoAc}_2] = 1,8 \cdot 10^{-2}$ мол/л

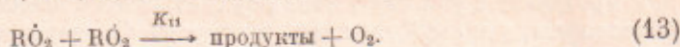
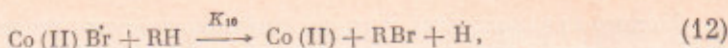
бальтбромидом и перекисным радикалом (7), причем перенос осуществляется существенно легче, чем в реакции (5) с солью кобальта.

Бромид кобальта CoAcBr (ниже Co(II)Br^-) образуется из соли двухвалентного кобальта и NaBr по реакции



Кинетическую схему процесса можно записать:





Комплекс Co(II)Br , инициируемый в реакциях (6) и (7), обеспечивает продолжение цепи по реакции с углеводородом (8). В реакции образуется бромистоводородный комплекс Co(II)BrH . Реакция (9) перекисного радикала с этим комплексом приводит к образованию гидроперекиси, что обеспечивает разветвление цепи. Параллельная ей реакция (10), осуществляющаяся посредством переноса электрона, приводит к образованию альдегида. В реакции (12) происходит гибель активных комплексов Co(II)Br .

Приняв для начальной стадии условия стационарного режима, можно выразить концентрацию перекисных радикалов

$$[\text{R}\dot{\text{O}}_2] = \frac{\alpha K_3}{K_{11}} [\text{Co (II)}] + \frac{\alpha K_5}{K_{11}} [\text{Co (II)Br}^-]. \quad (II)$$

Нетрудно видеть, что интенсивность свечения, пропорциональная скорости рекомбинации перекисных радикалов, не будет зависеть от концентрации углеводорода и будет функцией только величин концентраций соли кобальта и бромида натрия, что согласуется с экспериментальными данными.

Для скорости поглощения кислорода можно написать

$$W = \beta (K_3 [\text{R}\dot{\text{O}}_2] [\text{Co (II)}] + K_5 [\text{R}\dot{\text{O}}_2] [\text{Co (II) Br}^-] + K_9 [\text{R}\dot{\text{O}}_2] [\text{Co (II)}] [\text{RH}]), \quad (III)$$

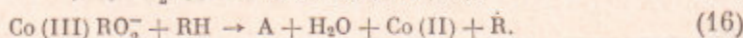
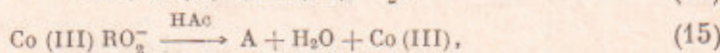
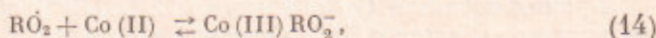
где $\beta = 1 + 2\alpha + \alpha K_8 K_7^{-1}$, $\alpha = K_6 K_{10}^{-1} (1 + K_8 K_7^{-1} - K_6 K_{10}^{-1})^{-1}$.

В области малых концентраций NaBr , когда вклад реакции (7) невелик, выражение для скорости принимает вид

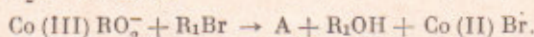
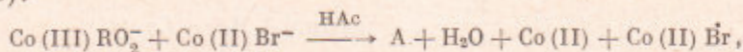
$$W = \frac{\alpha \beta K_3^2}{K_{11}} [\text{Co (II)}]^2 + \frac{\alpha K_5 K_9}{K_{11}} [\text{Co (II)}]^2 [\text{RH}], \quad (IV)$$

что находится в соответствии с наблюдаемой зависимостью (I).

Кинетика окисления толуола и *n*-ксилола показывает существенное отличие от закономерностей окисления тетралина (7). Это отличие описано введением реакций переноса электрона с участием иона двухвалентного кобальта и перекисного радикала (5), (11). Эти реакции осуществляются, по-видимому, в две стадии через промежуточное образование комплекса Co(III)RO_2^- .



Реакции этого типа могут играть важную роль в процессах окисления метилбензолов, в частности, нами получены данные, указывающие на то, что реакции перекисного радикала с бромидом кобальта (5) и с органическими бромидами осуществляются с участием соли кобальта по схеме (14), (16).



Московский физико-технический институт

Поступило
5 I 1970

ЦИТИРОВАННАЯ ЛИТЕРАТУРА

- ¹ D. A. S. Rawens, Trans. Farad. Soc., 55, № 10, 1768 (1959). ² A. S. Hay, H. S. Blanchard, Canad. J. Chem., 43, № 5, 1306 (1965). ³ В. Б. Фальковский, Т. А. Тюричева, Хим. пром., № 9, 652 (1966). ⁴ J. Kamiya, Bull. Chem. Soc., Japan, 39, № 10, 2241 (1966). ⁵ S. Koichiro, J. Kamiya, N. Ohta, Bull. Chem. Soc. Japan, 41, № 3, 641 (1968). ⁶ С. Е. Н. Bawn, Disc. Farad. Soc., № 14, 181 (1953). ⁷ И. В. Захаров, Л. А. Баланов, О. Г. Попова, ДАН, 190, № 5, 124 (1970).